

И Н С Т И Т У Т  
ЯДЕРНОЙ ФИЗИКИ СОАН СССР

ПРЕПРИНТ И ЯФ 74 - 69

В.М.Аульченко, Ю.В.Коршунов, Ю.В.Усов

АНАЛОГО-ЦИФРОВЫЕ ПРЕОБРАЗОВАТЕЛИ  
И ИНТЕГРИРУЮЩИЕ УСИЛИТЕЛИ  
ДЛЯ СЦИНТИЛЛЯЦИОННЫХ СЧЁТЧИКОВ

Новосибирск

1974

АНАЛОГО-ЦИФРОВЫЕ ПРЕОБРАЗОВАТЕЛИ И ИНТЕГРИРУЮЩИЕ  
УСИЛИТЕЛИ ДЛЯ СИНТИЛЛЯЦИОННЫХ СЧЕТЧИКОВ

В.М.Аульченко, Ю.В.Коршунов, Ю.В.Усов

А Н Н О Т А Ц И Я

Описываются два аналого-цифровых преобразователя на 512 и 1024 рабочих канала и схемы интегрирующих усилителей. Приводятся их принципиальные схемы и основные параметры.

В современных экспериментах по физике высоких энергий все большее внимание уделяется амплитудному анализу импульсов от детекторов элементарных частиц, в частности от сцинтилляционных счетчиков.

Широкое применение ЭВМ для сбора и обработки данных требует представления всей информации, в том числе и информации об амплитудах импульсов, в цифровом виде. Поэтому широкое распространение получили т.н. аналого-цифровые преобразователи (АЦП).

Ниже описываются АЦП, используемые в системе регистрации на установке со встречными электрон-позитронными пучками ВЭПП-2М.

Схема АЦП состоит из интегрирующего усилителя и собственно преобразователя (рис. I). Амплитуда импульсов на выходе усилителя пропорциональна заряду входных сигналов в некотором интервале их длительностей, а для импульсов неизменной длительности — их амплитуде. Коэффициент преобразования усилителя  $K_p = 6 \cdot 10^9$  в/к, длительность переднего фронта импульса на выходе усилителя 1,5 мксек. Линия задержки ЛЗ1, включенная между третьим каскадом усиления (Т3) и выходным эмиттерным повторителем (Т4) задерживает сигнал на 1,5 мксек; за это время формируются сигналы управления.

Зарядное устройство АЦП представляет собой усилитель-смеситель с отрицательной обратной связью, собранный на ИС1, Т7, и Т8. Полный коэффициент усиления  $K_{us} = 27$ . Емкость памяти С20 через диод Д2 заряжается до амплитудного значения импульса. Для исключения начального участка ВАХ диода одновременно с сигналом на инвертирующий вход усилителя-смесителя подается импульс "пьедестала" с токового ключа Т10-Т11. Этот импульс формируется одновибратором на ИС3, ИС4, который запускается сигналом управления. Задним (положительным) фронтом "пьедестала" вводится триггер преобразования (ИС7), управляющий ключом разрядного тока (Т13-Т14). С этого момента емкость памяти начинает линейно разряжаться через Д3, Т13 и Т15. Одновременно с началом преобразования открывается вентиль ИС9 и импульсы с тактового генератора частоты 3,3 МГц (ИС6) через преобразователь

уровней T17, T18, D14, D15 подаются на пересчетную схему (ПС).

Детектор нуля представляет собой усилитель-ограничитель (ИС2) с нелинейной обратной связью (D16, D17, D18). В тот момент времени, когда емкость памяти разрядится до нуля, на выходе эмиттерного повторителя (T9) появляется положительный импульс, сбрасывающий триггер преобразования (ИС7). Вся схема возвращается в исходное состояние.

Основные характеристики АЦП совместно с усилителем.

1. Чувствительность 0,24 пкул/канал
2. Число рабочих каналов 512.
3. Полное число каналов (емкость ПС) 1024
4. Ограничение усилителя на уровне 700÷800 каналов
5. Частота тактового генератора 3,3 МГц.
6. Пьедестал  $N_p = 20$  каналов
7. Зависимость номера канала от амплитуды входных сигналов выражается прямой вида  $N_k = aQ_{av} + b$ ,  $a = 4,2$  кан/пкул,  $b = N_p$ , с погрешностью не более  $\pm 2\%$ .
8. Стабильность коэффициента преобразования  $0,13\%/\text{°C}$ .

В вышеупомянутой системе регистрации длительное время работают 48 описанных АЦП. Эксплуатация показала их высокую надежность. Однако, для некоторых задач линейности и количества каналов этих АЦП оказывается недостаточным.

Более совершенной является схема АЦП, представленная на рис.2. Основным элементом этого АЦП является дифференциальный усилитель на полевых транзисторах T3 и T4. За счет цепи отрицательной обратной связи (T12, T15, D3) потенциал на емкости памяти C4 стремится быть равным потенциальному на затворе T3. В исходном состоянии, когда затвор T3 заземлен через открытый транзистор T2, а T1 закрыт, потенциал на емкости памяти близок к нулю и соответствует равновесному состоянию дифференциального усилителя. При этом разрядный ток  $I_P = 0,1 \text{ мА}$  протекает через T12, T15, D3, T16 и T18, а потенциал базы транзистора T13 примерно на 0,6 В выше потенциала базы T14. Поэтому T13 закрыт, а T14 открыт.

Анализируемый сигнал положительной полярности подается на затвор T3 через нормально закрытые линейные ворота (ЛВ), представляющие собой последовательно-параллельный ключ на полевых транзисторах T1 и T2. Цепь обратной связи через T5 позволяет расширить верхнюю границу пропускаемых воротами сигналов до 11 в. Коэффициент ослабления ворот в закрытом состоянии не менее 60 дБ.

Сигнал управления, совпадающий по времени с моментом прихода на вход ЛВ анализируемого сигнала, запускает одновибратор ворот (ИС1, ИС2) и одновибратор задержки (ИС3, ИС4). Сигналы с этих одновибраторов через ИС5, ИС8 и ИС9 открывают ЛВ, закрывают T16 и открывают T17. Емкость памяти C4 начинает заряжаться через T12, T15 и D3. Время заряда C4 до максимального значения амплитуды 10 в равно 0,3 мксек, поэтому длительность импульса управления воротами должна быть не менее этого времени. После окончания импульса управления затвор T3 вновь оказывается заземленным, T4 открыт потенциалом на емкости C4, а T3 и T12 закрыты. Смещением на диоде D2 транзистор T13 открывается, а T14 – закрывается. Разрядный ток протекает через T17 и D4 на землю, диод D3 заперт.

Преобразование начинается через некоторое время после окончания импульса ворот, необходимое для окончания переходных процессов. С помощью ИС7 начало преобразования синхронизовано с определенной фазой колебаний тактового генератора частоты 10 МГц (ИС16). Положительный импульс с выхода ИС7 вводит триггер преобразования (ИС10), T16 открывается, T17 закрывается и начинается линейный разряд емкости C4 постоянным током. Одновременно на выходе ИС11 появляется отрицательный импульс, вентиль ИС12 открывается и сигнал с тактового генератора поступает на ПС.

Генератор разрядного тока (T16) имеет выходное сопротивление около 10 мом, при максимальном времени преобразования 100 мксек ( $U_{av} = 10\text{ В}$ ) погрешность за счет экспоненциального разряда составит 1%. Введение отрицательной обратной связи через  $R_s = 10$  мом полностью исключило эту нелинейность.

В момент времени, когда потенциал на C4 снизится до равновесного значения, T12 и T15 откроются, разряд прекратится.

Ключ T13, T14 вернется в исходное состояние и триггер преобразования окажется сброшенным. Схема вернулась в исходное состояние.

#### Основные характеристики АЦП

1. Чувствительность 0,01 в/кан
2. Число рабочих каналов 1024  
Полное число каналов (емкость ПС) 2048
3. Ограничение на уровне 1200±1300 каналов
4. Частота преобразования 10 МГц
5. Зависимость номера канала от амплитуды входных сигналов выражается прямой вида  $N_k = a \cdot Q_{\text{вх}} + b$ ,  
 $a = 100 \text{ кан/в}, b = 2$ , с отклонением не более  $\pm 0,5\%$ .
6. Стабильность коэффициента преобразования не хуже  $0,017\%/\text{^oC}$ .

#### Усилитель

Для того, чтобы повысить чувствительность преобразователя и иметь возможность работать с короткими входными сигналами, перед АЦП-2 стоит интегрирующий усилитель (рис.3).

Усилитель состоит из двух интегрирующих каскадов T1, T2 и T3, T4 и выходного каскада усиления T5, T6. Двойное интегрирование необходимо для формирования переднего фронта и длительности выходного сигнала. Выходной сигнал имеет передний фронт 250 нсек и длительность на полувысоте 500 нсек. Коэффициент преобразования усилителя  $K_p = 10^{11} \text{ в/кул}$ . В последнем каскаде усилителя для стабилизации коэффициента усиления усилителя применена термозависимая обратная связь. Дифференцирующая емкость C15 служит для сокращения времени восстановления постоянного уровня сигнала.

Основные параметры усилителя при  $R_h = 10 \text{ к}\Omega$ .

1. Коэффициент преобразования  $K_p = 10^{11} \text{ в/кул}$
2. Максимальный выходной сигнал 10 в.
3. Загрузка по входу сигналами с максимальным зарядом при условии смещения постоянного уровня не более чем на 1% от максимального выходного напряжения - 200 КГц.

4. Восстановление выходного уровня до 1% от  $U_{\text{вх}}$  при 10-кратной перегрузке - 6 мсек.

#### Основные характеристики АЦП с усилителем

1. Чувствительность 0,1 пкул/канал
2. Число рабочих каналов 1024  
Полное число каналов (емкость ПС) 2048
3. Ограничение на уровне 1200±1300 кан.
4. Частота преобразования 10 МГц
5. Зависимость номера канала от амплитуды входных сигналов при неизменной их длительности выражается прямой вида  $N_k = a Q_{\text{вх}} + b$ ,  $a = 10 \text{ кан/пкул}, b = 1/2$ , с отклонением не более  $\pm 0,5\%$ .
6. Стабильность коэффициента преобразования не хуже  $0,02\%/\text{^oC}$ .

#### Интегрирующий усилитель с линейными воротами

Более совершенная схема интегрирующего усилителя приведена на рис.4. Главное отличие ее от предыдущей заключается в том, что перед интегрирующими каскадами стоят линейные ворота, что позволяет работать с большими загрузками без опасности наложения импульсов в усилителе.

Входной каскад (T1, T2) представляет собой преобразователь напряжения в ток. Нагрузкой этого каскада является линия задержки ЛЗТ-0,5-600, минимальная длительность сигнала на выходе ЛЗТ - на полувысоте 100 нсек, по основанию - 200 нсек. С эмиттерного повторителя T3 импульсы поступают на нормально закрытые ворота (ЛВ), представляющие собой последовательно-параллельный ключ на полевых транзисторах T4, T5. Для фиксации постоянного уровня на входе ЛВ применен усилитель с отрицательной обратной связью (ИС1, Т10). Исходное значение потенциала на входе ЛВ регулируется с помощью потенциометра  $R_{16}$ . Для положительных (рабочих) сигналов входное сопротивление схемы фиксации приблизительно равно 100 к $\Omega$ , т.к. при этом открыт транзистор T10, а для отрицательных сигналов, возникающих вследствие заряда переходной емкости, входное сопротивление схемы фиксации близко к нулю.

Поэтому восстановление постоянного уровня происходит очень быстро. При подаче на вход усилителя импульсов с частотой 2,5 МГц и скважностью 2 смещение постоянного уровня на входе ЛВ не превышает 0,5% от амплитуды сигнала.

Линейные ворота открываются на время прохождения сигнала с помощью токовых ключей T6, T7 и T8, T9. Время открывания и закрывания ворот не более 20 нсек. Сигнал с ЛВ поступает на интегрирующий каскад (TII, T12) и далее, через интегрирующую цепь R24C9, на усилительный каскад (T13, T14) с термозависимой отрицательной обратной связью. Через разделительную емкость C10 положительные сигналы поступают на вход АЦП.

Основные характеристики АЦП с этим усилителем такие же, что и с усилителем, описанным выше.

Стабильность пьедестала  $\pm 1$  канал в диапазоне температур  $+5 \pm +50^{\circ}\text{C}$  при длительности сигнала управления ворот 200 нсек. Максимальная загрузка по входу до 2,5 МГц. При больших загрузках возможны ошибки из-за наложения импульсов на входе линейных ворот.

### Л и т е р а т у р а

I. A.C. Трофимов, Л.П. Челноков. ОИЯИ, 10-7270, 1973 г.

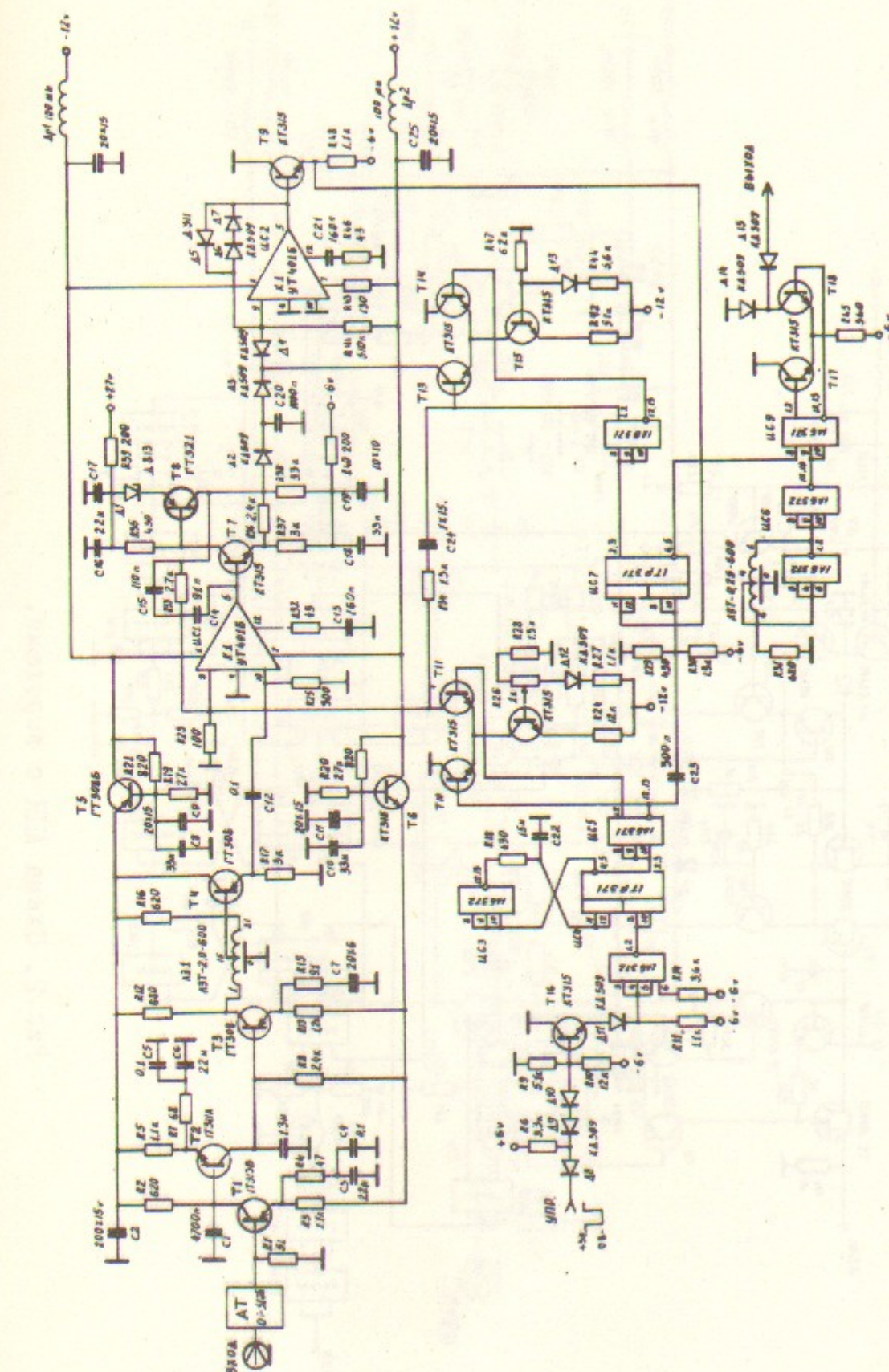


Рис. I Схема АЦП с интегрирующим усилителем.

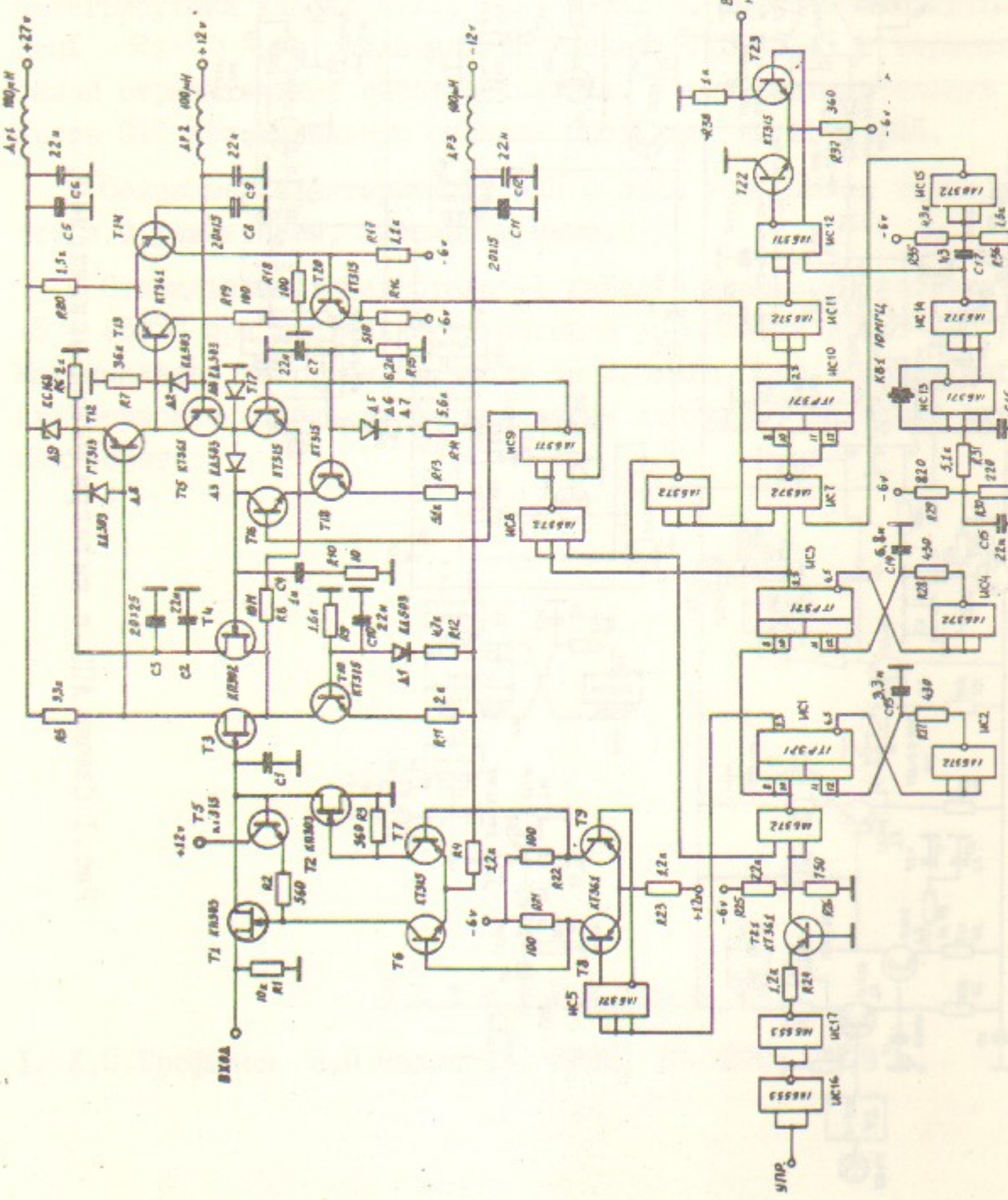


Рис. 2. Схема АЦП с воротами.

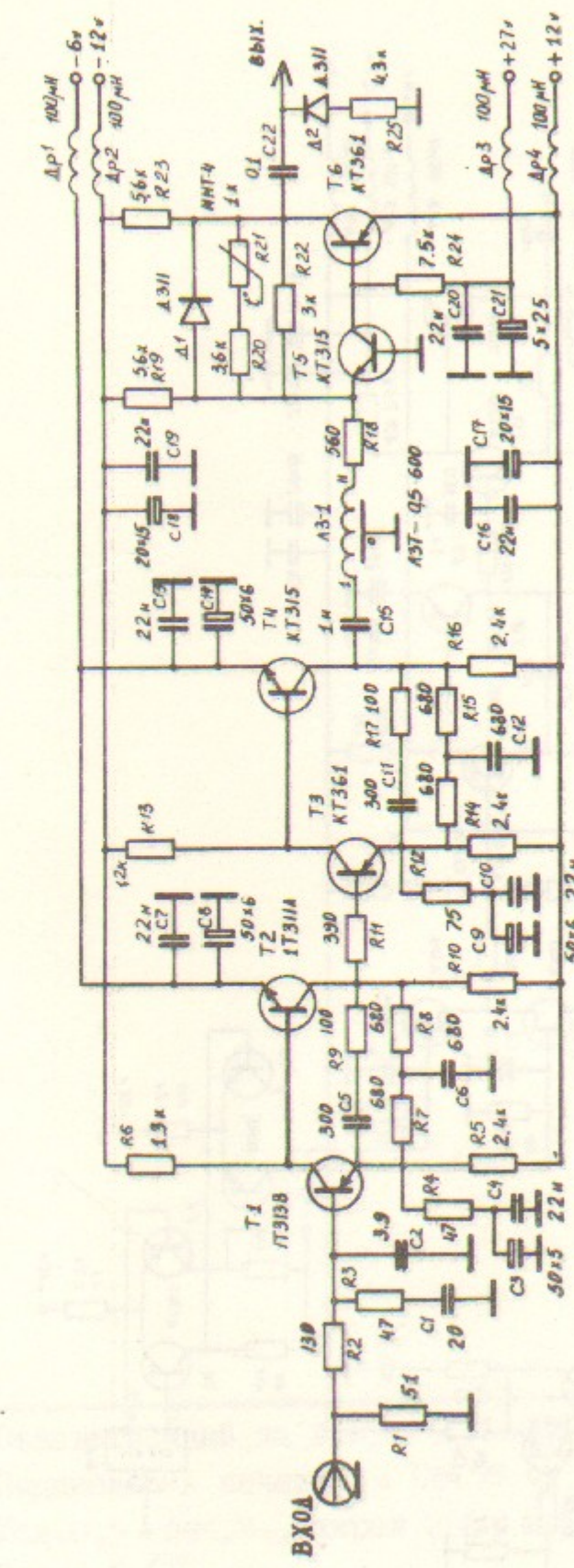


Рис. 3. Интегрирующий усилитель для АЦП.

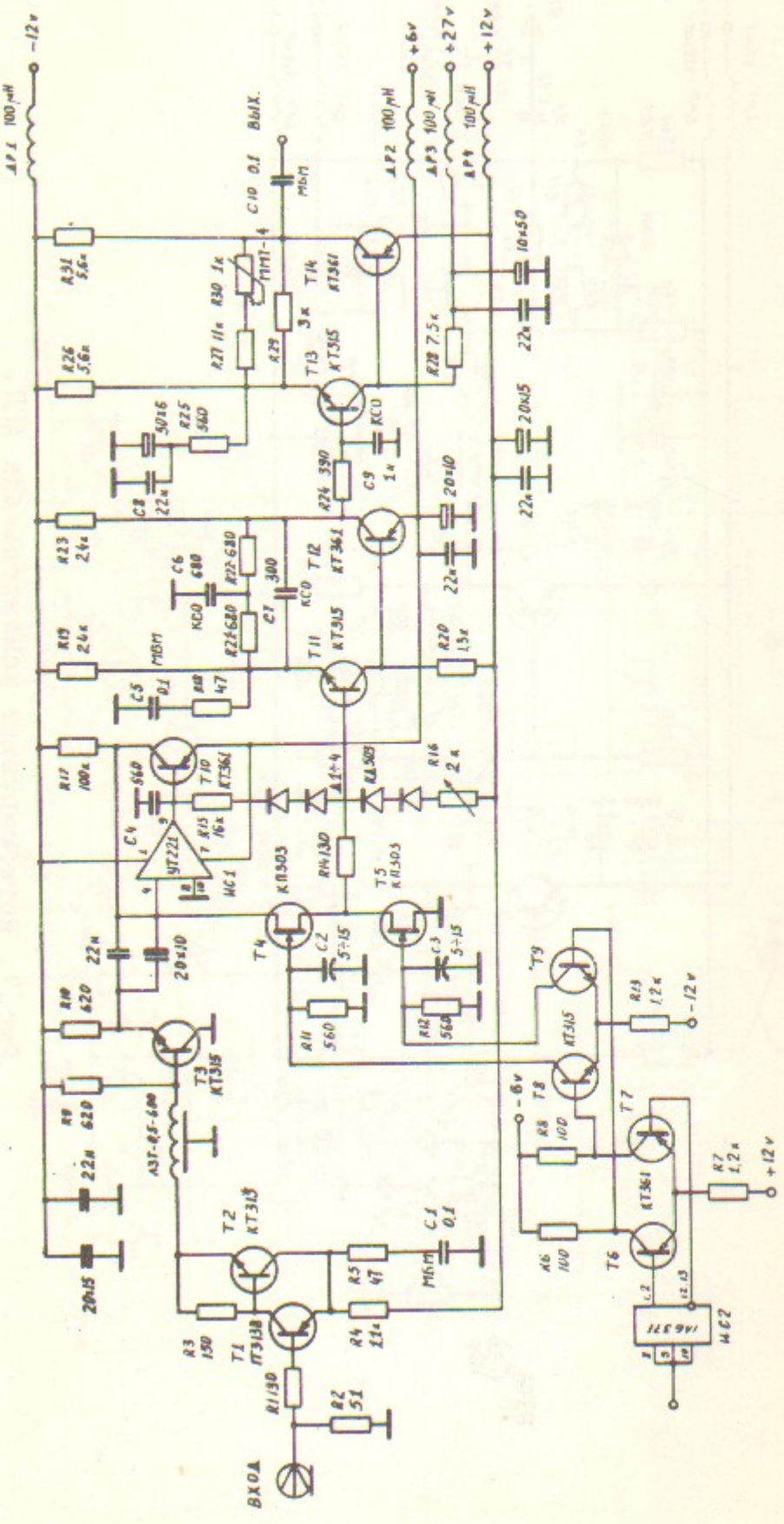


Рис. 4. Интегрирующий усилитель с линейными воротами.

---

Ответственный за выпуск Г.А.СИРИДОНОВ  
 Подписано к печати № 08459 от 18.IX-74 г.  
 Усл.0,5 печ.л., тираж 200 экз. Бесплатно  
 Заказ № 69

Отпечатано на ротапринте в ИНФ СО АН СССР, вт